

ФОРМА ЛИНИИ МАГНИТНОГО РЕЗОНАНСА В СВЕРХПРОВОДНИКАХ ВТОРОГО РОДА С УЧЕТОМ СКИН-ЭФФЕКТА

© Б.И.Кочелаев, Ю.Н.Прошин, С.Л.Царевский

Казанский государственный университет,

420008 Казань, Россия

(Поступила в Редакцию 10 марта 1996 г.)

Построена форма линии ЯМР в сверхпроводниках второго рода с учетом изменения неоднородности магнитного поля вихревой решетки вблизи поверхности сверхпроводника. Показано, что учет этих изменений значительно меняет параметры линии ЯМР, что может существенно изменить выводы относительно типа вихревой решетки и параметров сверхпроводника, которые обычно извлекают из анализа формы линии ЯМР.

1. Метод ядерного магнитного резонанса (ЯМР) в настоящее время широко используется для исследования свойств сверхпроводников второго рода, в том числе и высокотемпературных. Для надежной интерпретации формы линии наряду с однородной шириной, определяемой динамикой взаимодействия спиновой системы ядер с электронами проводимости и между собой, необходимо учитывать неоднородность локального магнитного поля $h(r)$ в сверхпроводнике, т. е. неоднородную ширину линии ЯМР. Кроме того, при анализе формы линии магнитного резонанса в металлах необходимо учитывать то, что электромагнитное СВЧ-поле, проникая в металл, изменяется как по амплитуде, так и по фазе на глубине скин-слоя. В результате в отличие от диэлектриков, в которых поглощаемая микроволновая мощность P пропорциональна мнимой части СВЧ-восприимчивости χ'' , в металлах P оказывается пропорциональной сумме χ' и χ'' (χ' — действительная часть восприимчивости). В нормальных металлах изменение амплитуды и фазы переменного поля происходит на одинаковой глубине образца, так что χ' и χ'' входят в выражение для P с одинаковым весом, и форма линии становится асимметричной [1]. Так, например, параметр асимметрии линии — отношение низкопольевого пика к высокопольевому в производной энергии поглощения по магнитному полю (отношение A/B) — оказывается равным 2.55 в нормальных металлах для лоренцевской линии. В сверхпроводниках второго рода вследствие экранирования сверхпроводящими токами переменное поле проникает на глубину $\sim \lambda$ (λ — глубина проникновения магнитного поля в сверхпроводник), уменьшаясь по амплитуде, однако фаза переменного поля изменяется на значительно большей глубине [2]. В

результате, как показано в [3], в типичном для ЯМР в сверхпроводниках второго рода случае, когда однородное уширение Δ много меньше разброса локальных полей, поглощаемая мощность снова оказывается пропорциональной H'' , и асимметрия линии ЯМР определяется в основном особенностями распределения локального магнитного поля. В сверхпроводниках второго рода во внешнем однородном магнитном поле H ($H_{c1} < H < H_{c2}$, H_{c1}, H_{c2} — первое и второе критические поля) локальное магнитное поле $h(r)$ проникает в сверхпроводник в виде квантованных вихрей Абрикосова, становится резко неоднородным и имеет ближний порядок в общем случае анизотропной вихревой решетки, период которой определяется величиной H . При исследовании вихревой решетки методом ЯМР обычно используют распределение магнитного поля, которое образуется в толще массивного сверхпроводника, полагая, что неоднородность $h(r)$ одинакова как в глубине сверхпроводника, так и на его поверхности. Однако, как показано в недавних работах [4, 5], пространственное распределение магнитного поля в сверхпроводнике вблизи его поверхности существенно отличается от распределения $h(r)$ в глубине сверхпроводника (в приповерхностной области сверхпроводника появляются, в частности, поперечные компоненты $h(r)$). Эти изменения происходят в узкой приповерхностной области сверхпроводника на глубине $\sim a$ (a — период вихревой решетки), так что для корректного расчета формы линии ЯМР необходимо одновременно учитывать изменения и $h(r)$, и переменного магнитного поля в приповерхностной области сверхпроводника. В данной работе приведены результаты численного расчета формы линии ЯМР с учетом поверхностных эффектов и показано, что форма линии ЯМР существенно изменяется по сравнению с традиционно рассчитываемой без учета реального изменения неоднородности магнитного поля вблизи поверхности сверхпроводника (так, отношение A/B линии ЯМР становится в 2.5 раза больше).

2. Высокотемпературные сверхпроводники проявляют сильно анизотропные свойства, причем анизотропия в плоскости по направлениям **a** и **b** относительно невелика. Рассмотрим анизотропный сверхпроводник, занимающий полупространство $z < 0$ во внешнем магнитном поле, направленном по оси z : $H(0, 0, H)$. Положим также, что ось z параллельна оси с сверхпроводника. Поле $h(r)$ имеет периодичность вихревой решетки в плоскости xy , так что его можно представить в виде ряда Фурье по обратным векторам решетки G . В [4] на основе решения уравнений Лондонов с использованием соответствующих граничных условий получены аналитические выражения для фурье-компонент локального магнитного поля как функции $z - h_G(z)$. Карту магнитного поля $h(r)$ в сечениях $z = \text{const}$ можно восстановить, суммируя ряд Фурье с использованием значений $h_G(z)$. Следующий шаг вычислений — определение функции распределения $\rho(h, z)$ локального магнитного поля $h = |h|$ в элементарной ячейке вихревой решетки для тонкого по сравнению с λ слоя, отстоящего на расстояние z от поверхности сверхпроводника. Для анализа формы линии нам потребовалось достаточно подробные карты распределения магнитного поля для различных расстояний до поверхности z . Это определяется как числом точек, на которые разбивается элементарная ячейка вихревой решетки и в которых вычисляется $h(r)$ (мы использовали 512×512 точек), так и числом таких карт в зависимости от h (у нас их 100). Фор-

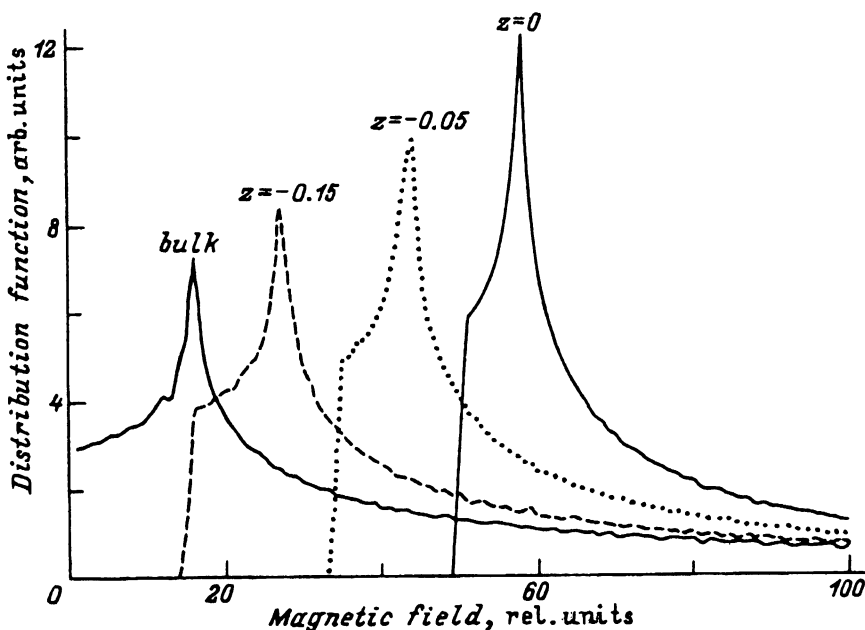


Рис. 1. Функция распределения $\rho(h, z)$ локального магнитного поля $h = |\mathbf{h}|$ в элементарной ячейке вихревой решетки в глубине сверхпроводника (в произвольных единицах).

Режиму «bulk» соответствует $z = -5.0$. По оси абсцисс отложены значения поля в единицах $100(h - h_{\min})/(H - h_{\min})$.

ма линии ЯМР определялась подсчетом относительного числа точек в плоскости xy , для которых величина поля лежит в пределах от h до $h + dh$ ($dh = (H - h_{\min})/100$, где $H = 2$ — внешнее поле; значение минимального поля в сверхпроводнике $h_{\min} = 1.8767$ определялось на глубине $z = -5.0$ (режим «bulk»)). Здесь и далее используются безразмерные единицы: расстояние измеряется в единицах λ , а магнитное поле — в единицах Φ_0/λ^2 , где Φ_0 — квант магнитного потока. На рис. 1 представлены в качестве иллюстрации функции $\rho(h, z)$ для некоторых значений z . Функции $\rho(h, z)$ вычислены для сверхпроводника с параметром анизотропии $\Gamma = 25$ ($\Gamma = m_3/m_1$, $m_1 = m_2$, m_3 — главные значения «тензора масс», вводимого для описания плотности кинетической энергии сверхпроводящих электронов). $\Gamma = 25$ отражает анизотропию высокотемпературного сверхпроводника Y-Ba-Cu-O с $T_c = 90$ К. Распределение локального магнитного поля $\rho(h, z)$ вычислялось с шагом $\Delta z = 0.05$ от поверхности до $z = -0.7$, далее шаг увеличивался, поскольку, как видно из рис. 1, функция $\rho(h, z)$ существенно меняется по мере удаления от поверхности сверхпроводника и на глубине порядка $\lambda/2$ приближается к распределению магнитного поля в неограниченном сверхпроводнике (кривая «bulk»), практически не меняясь в интервале от $z \leq -0.5$ до $z = -5.0$.

3. Вычислим мощность переменного магнитного поля, поглощаемую резонирующими ядерными спинами, расположенными в узком слое z , $z + dz$. Ясно, что она будет пропорциональна $\exp(2z/\delta)\rho(h, z)dz$. Экспоненциальный множитель учитывает, что амплитуда переменного магнитного поля экспоненциально убывает по мере удаления от поверхности.

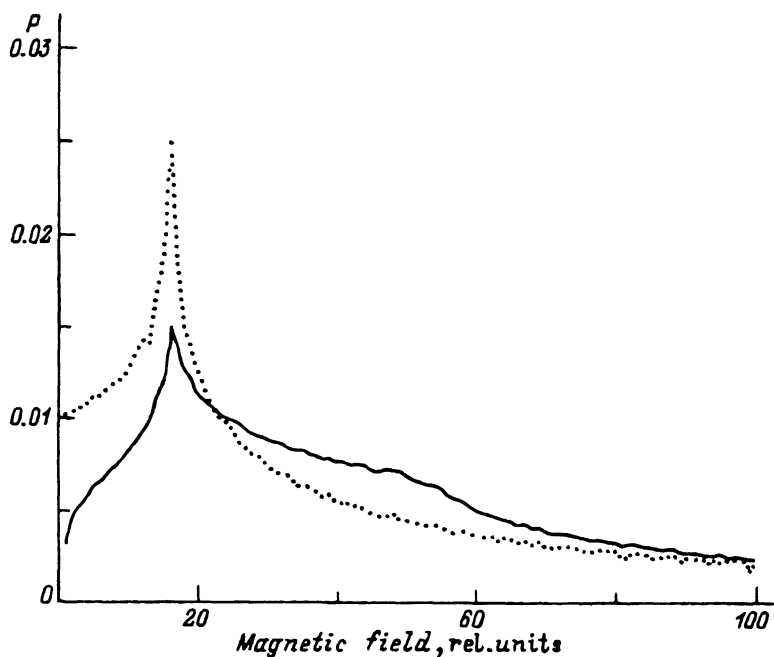


Рис. 2. Зависимость энергии поглощения от магнитного поля.

Пунктирная линия соответствует режиму «bulk» без учета поверхностных эффектов. Сплошная линия проведена с учетом поверхностных эффектов ($\delta = 1$, $\Delta = 1$). Обозначения оси абсцисс соответствуют рис. 1.

сти сверхпроводника, величина δ равна глубине проникновения переменного магнитного поля частоты ω в сверхпроводник. Будем считать в дальнейшем, что поглощенная мощность переменного поля пропорциональна χ'' [3] и однородное уширение описывается лоренцевской линией с шириной Δ . Поглощаемая всеми резонирующими спинами мощность переменного поля как функция внешнего однородного магнитного поля H будет определяться сверткой однородно уширенной линии с функцией распределения локальных полей в элементарной ячейке вихревой решетки в слое от z до $z + dz$ с последующим интегрированием по слоям

$$P(H) = C \int_{-\infty}^{\infty} dh \frac{\Delta}{\Delta^2 + (H - h)^2} \int_0^{-\infty} dz \rho(h, z) \exp(2z/\delta). \quad (1)$$

Константа C определяется нормировкой $\int P(H)dH = 1$.

На рис. 2 представлена рассчитанная с использованием формулы (1) линия ЯМР (энергия поглощения $P(H)$) для анизотропного сверхпроводника с параметрами $\Gamma = 25$, $\Delta = 1$, $\delta = 1$. Для сравнения пунктирной линией представлена линия ЯМР сверхпроводника с теми же параметрами, но без учета изменения неоднородного поля по мере удаления от поверхности сверхпроводника, т. е. когда $\rho(h, z) = \rho(h, -\infty)$. Учет поверхностных эффектов существенно изменяет форму линии ЯМР. Это особенно хорошо видно по форме линии производной энергии поглощения по магнитному полю dP/dH .

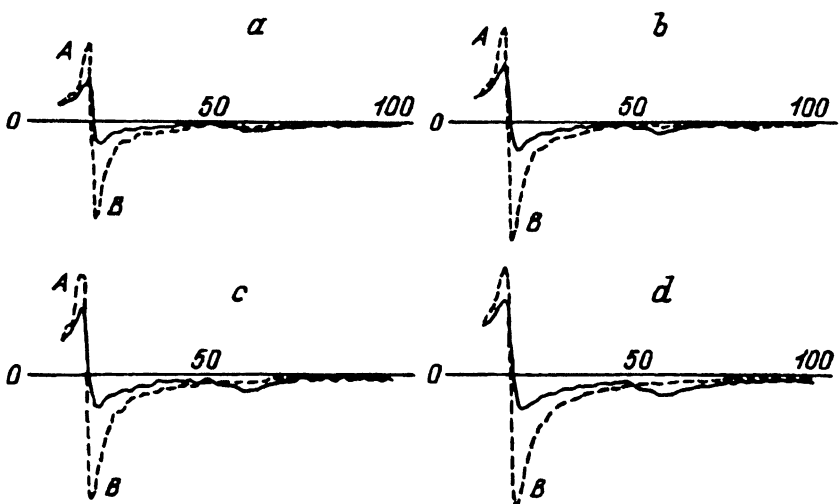


Рис. 3. Кривая dP/dH .

Горизонтальная линия отвечает значению $dP/dH = 0$, обозначения на ней соответствуют рис. 1. Штриховая линия соответствует режиму «bulk». Сплошная линия проведена с учетом поверхностных эффектов ($\delta = 1$, режим «skin»). Δ : a — 0.75, b — 1, c — 1.25, d — 1.75. a) «bulk» — $A/B = 0.8116$, $P_{toP} = 2$, «skin» — $A/B = 1.995$, $P_{toP} = 3$, b) «bulk» — $A/B = 0.7977$, $P_{toP} = 2$, «skin» — $A/B = 2.012$, $P_{toP} = 3$, c) «bulk» — $A/B = 0.7915$, $P_{toP} = 3$, «skin» — $A/B = 2.004$, $P_{toP} = 4$, d) «bulk» — $A/B = 0.803$, $P_{toP} = 4$, «skin» — $A/B = 2.032$, $P_{toP} = 5$.

На рис. 3 представлены кривые dP/dH для различных значений Δ с учетом и без учета изменения локального поля вблизи поверхности сверхпроводника. Для всех кривых характерно, что параметр асимметрии линии ЯМР A/B возрастает примерно в 2.5 раза, если учитывать изменение неоднородности магнитного поля вблизи поверхности сверхпроводника. Причем параметр A/B и ширина линии ЯМР (расстояние между пиками, параметр P_{toP} на рис. 3) увеличиваются вместе с ростом параметра Δ , описывающего однородное уширение. Чем больше Δ , тем отчетливее виден на графиках (рис. 3) дополнительный высокополевой широкий пик, соответствующий поглощению энергии магнитного поля вблизи поверхности (см. рис. 1 при $-0.05 \leq z \leq 0.0$ и рис. 2).

Столь значительные изменения формы линии ЯМР могут существенно изменять выводы относительно типа вихревой решетки и параметров сверхпроводника, которые извлекают из анализа формы линии ЯМР [6]. Приведенный расчет показывает необходимость знания распределения магнитного поля $h(r)$ вблизи поверхности сверхпроводника для интерпретации параметров линии ЯМР, т. е. метод ЯМР оказывается весьма чувствительным к особенностям распределения магнитного поля сверхпроводников второго рода. Как показывают предварительные расчеты $\rho(h, z)$ [4], неоднородность распределения магнитного поля заметно меняется при изменении ориентации внешнего поля H относительно кристаллографических осей и поверхности анизотропного сверхпроводника, так что параметры линии ЯМР могут изменяться в заметных пределах (от линии, характерной для диэлектриков, до линии, характерной для нормальных металлов).

Работа выполнена при поддержке Международного научного фонда
(грант RH6000, RH6300).

Список литературы

- [1] N. Bloembergen. J. Appl. Phys. **23**, 1383 (1952).
- [2] Л.П. Горьков, Г.М. Элиашберг. ЖЭТФ **54**, 612 (1968).
- [3] Б.И. Кочелаев, М.Г. Хусаинов. ЖЭТФ **80**, 1480 (1983).
- [4] Б.И. Кочелаев, Е.П. Шарин. СФХТ **5**, 1982 (1992).
- [5] O. Fritz, M. Wülfel, H.J. Hug, H. Thomas, H. Güntherodt. Phys. Rev. **B 47**, 384 (1993).
- [6] D. MacLaughlin. Solid State Phys. **31**, 1 (1976).